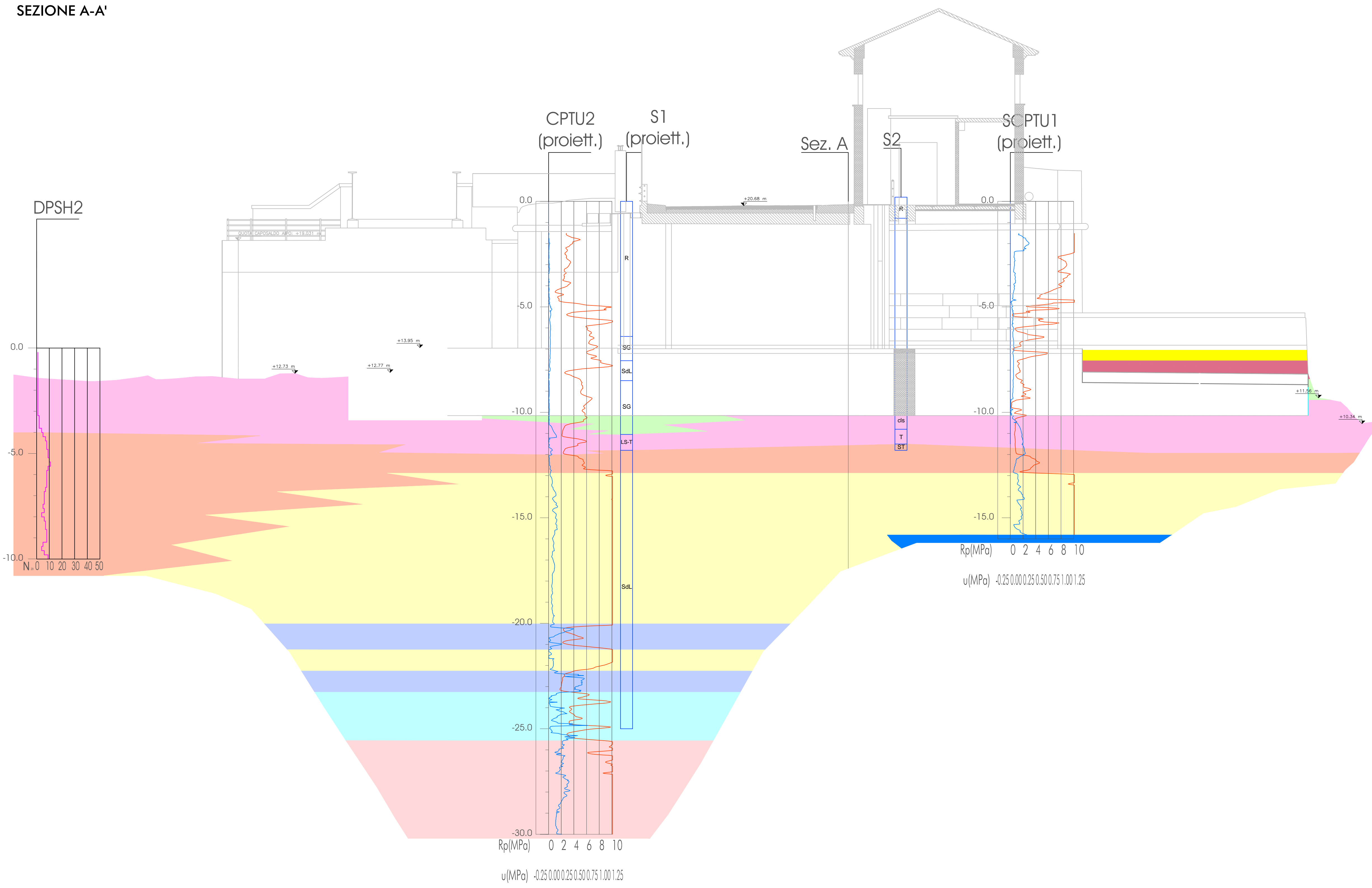


SEZIONE A-A'



LEGENDA

- Terreni di riporto costituiti da alternanze limoso sabbiose e sabbiose con frammenti di laterizi e ciottoli
- ORIZZONTE 1**
Terreno a comportamento granulare
 $\gamma = 19.0 \text{ kN/m}^3$;
 $E_m = 17.1 \text{ MPa}$ $E_s = 16.8 \text{ MPa}$;
 $\phi'_m = 30.3^\circ$ $\phi'_k = 30.1^\circ$
- ORIZZONTE 2**
Terreno a comportamento granulare
 $\gamma = 19.2 \text{ kN/m}^3$;
 $E_m = 9.7 \text{ MPa}$ $E_s = 8.1 \text{ MPa}$;
 $\phi'_m = 25.5^\circ$ $\phi'_k = 24.6^\circ$
- ORIZZONTE 3**
Terreno a comportamento coesivo
 $\gamma = 18.5 \text{ kN/m}^3$;
 $c_m = 11.3 \text{ kPa}$ $c'_i = 11.4 \text{ kPa}$;
 $Cu_m = 68.5 \text{ kPa}$ $Cu_k = 64.9 \text{ kPa}$;
 $E_{ed,m} = 4.3 \text{ MPa}$ $E_{ed,k} = 4.1 \text{ MPa}$;
 $\phi'_m = 21.5^\circ$ $\phi'_k = 21.3^\circ$
- ORIZZONTE 4**
Terreno a comportamento granulare
 $\gamma = 19.5 \text{ kN/m}^3$;
 $E_m = 11.7 \text{ MPa}$ $E_s = 11.0 \text{ MPa}$;
 $\phi'_m = 27.1^\circ$ $\phi'_k = 26.7^\circ$
- ORIZZONTE 5**
Terreno a comportamento coesivo
 $\gamma = 18.0 \text{ kN/m}^3$;
 $c_m = 10.9 \text{ kPa}$ $c'_i = 10.9 \text{ kPa}$;
 $Cu_m = 44.6 \text{ kPa}$ $Cu_k = 41.0 \text{ kPa}$;
 $E_{ed,m} = 2.8 \text{ MPa}$ $E_{ed,k} = 2.7 \text{ MPa}$;
 $\phi'_m = 20.2^\circ$ $\phi'_k = 20.0^\circ$
- ORIZZONTE 6**
Terreno a comportamento granulare
 $\gamma = 20.0 \text{ kN/m}^3$;
 $E_m = 17.7 \text{ MPa}$ $E_s = 16.1 \text{ MPa}$;
 $\phi'_m = 27.6^\circ$ $\phi'_k = 27.1^\circ$
- ORIZZONTE 7**
Terreno a comportamento granulare
 $\gamma = 20.0 \text{ kN/m}^3$;
 $E_m = 38.8 \text{ MPa}$ $E_s = 38.0 \text{ MPa}$;
 $\phi'_m = 37.5^\circ$ $\phi'_k = 37.3^\circ$
- ORIZZONTE 8**
Terreno a comportamento granulare
 $\gamma = 18.8 \text{ kN/m}^3$;
 $E_m = 5.5 \text{ MPa}$ $E_s = 5.3 \text{ MPa}$;
 $\phi'_m = 23.7^\circ$ $\phi'_k = 23.6^\circ$
- ORIZZONTE 9**
Terreno a comportamento granulare
 $\gamma = 20.5 \text{ kN/m}^3$;
 $E_m = 13.8 \text{ MPa}$ $E_s = 12.8 \text{ MPa}$;
 $\phi'_m = 27.9^\circ$ $\phi'_k = 27.5^\circ$
- ORIZZONTE 10**
Terreno a comportamento granulare
 $\gamma = 20.8 \text{ kN/m}^3$;
 $E_m = 38.4 \text{ MPa}$ $E_s = 36.7 \text{ MPa}$;
 $\phi'_m = 35.6^\circ$ $\phi'_k = 35.2^\circ$
- Ghiaie

S1 SONDAGGIO A CAROTTAGGIO CONTINUO

SCPTU1 PROVA PENETROMETRICA STATICA CON PUNTA ELETTRICA E SIMOCONO

CPTU2 PROVA PENETROMETRICA STATICA CON PUNTA ELETTRICA



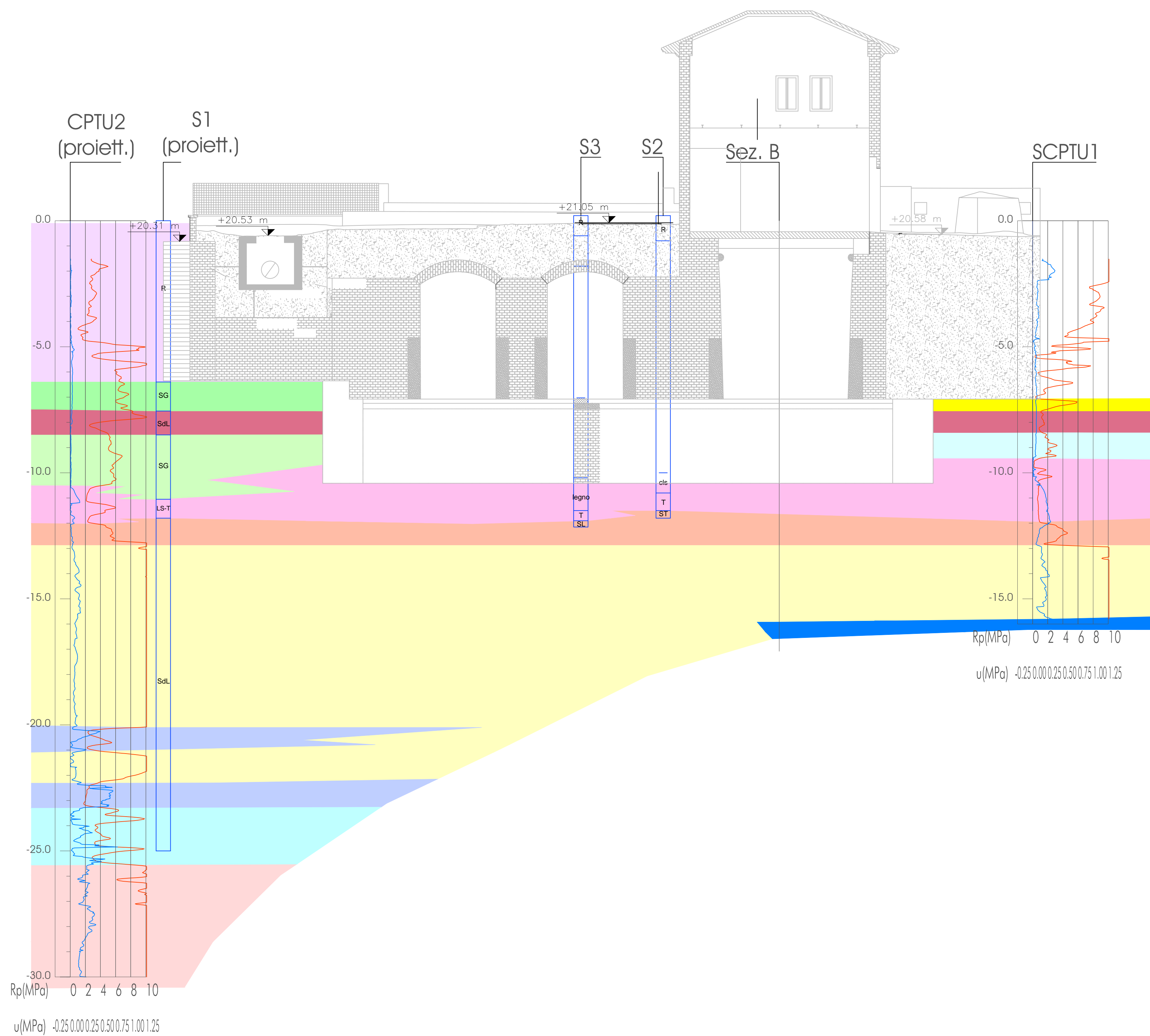
DPSH1 PROVA PENETROMETRICA DINAMICA



Classi litologiche fondamentali:

- A=ARGILLA
- G=GHIAIA
- R=MATERIALE DI RIPORTO e/o TERRENO VEGETALE
- L=LIMO
- S=SABBIA
- T=TORBA

SEZIONE B-B'



Flume Mincio
Opere idrauliche di II categoria
MNE-394-M
CUP: B64H15000070002
CIG:

AIPo
Agenzia Interregionale per il Fiume Po

Regione Lombardia

Progetto
Definitivo / Esecutivo

Lotto B

ELABORATO
Modello geotecnico

UBICAZIONE OPERE
Comune di Mantova
Località Ponte dei Mulini

DATA: Agosto 2018
AGG. -
SCALA:
1:100

COMMITTENTE
AIPo - Ufficio operativo di Mantova
Vicolo Canove, 26 - 46100 Mantova
tel. +39 0376320461
fax. +39 0376320464
e-mail: ufficio-rm@agenripa.it

Raggruppamento temporaneo d'impresa

POLARIS - STUDIO ASSOCIATO

HYDRODATA s.p.a.

ENGO S.r.l.

SAP S.r.l.

Responsabile unico del procedimento
Ing. Ivano Galvani

Il Coordinatore della Progettazione
Ing. Marcello Moretti

Assistente
Dott. Paolo Michelini

2.b.6

Lavori di ripristino funzionale del manufatto a sostegno del Lago Superiore denominato "Vasarone", a seguito degli eventi sismici del 20 e 29 maggio 2012